

東北大学大学院 学生員 今野 弘  
 東北大学工学部 正員 佐藤敏久  
 東北大学工学部 学生員 佐藤善彦

## 1. はじめに

ジャーチストを行なうような目的のもとに3層を試験する場合は別にして、3層理論の体系化のためには3層の支配因子のいくつかを無視して得られた結果（もちろん、3層の支配因子の全てを制御あるいは測定することは不可能に近いが）を整理しただけで論じることはできまい。その支配因子については従来から輸送、付着過程に分けて理論的あるいは実験的検討が加えられてきた結果、非常に多くが提案されてきた。中でも3速や3枚およびフロックの特性を示すものとして薬品注入量やpH、ALT比などが主なパラメータとして3層実験で制御されてきた。しかし、懸濁粒子径やその粒子の界面状態など3層池に流入していく懸濁粒子とのものについての検討は比較的少ないよう見受けられる。一方、モデル実験での懸濁物や3枚は実際池に類似した物質としてほとんどのカオリック粘土や砂を使用しているが、それらは形状、大きさ、物質など不明確な点があり、また産地によって著しく異なるなど結果の整理に支障をきたす場合がある。最近、我々はガラス製の球形微粉を入手でき、これも模型懸濁物として3層機構の検討を進めているが、今回懸濁粒子の粒子径と $\zeta$ -電位が初期3層係数に及ぼす影響についての実験的知見を報告する。

## 2. 実験

### 1) 3枚・懸濁粒子の物理性および測定

3枚は市販のガラス球を用い、顯微鏡による粒子径分布測定の結果、幾何平均径（重量基準） $d_g = 0.55 \text{ mm}$ 、幾何標準偏差 $s_g = 1.140$ （標準偏差 $s_a = 0.08 \text{ mm}$ ）、均等係数 U.C. = 1.22 である。ほとんどの球形である。

懸濁粒子として使用したガラス微粉は球形度が良好で不純物が少なくて化学的に安定であるなどの利点を有している。このガラス微粉の組成分析値の大略は表-1のことである。密度  $\rho_s = 2.45 \text{ g/cm}^3$  で粒子径分布は Rosin-Rammler 分布に適合し、重量基準のメディアン径 ( $d_{50}$ ) は、 $17.5 \mu\text{m}$  である。種々の粒径の懸濁度を得るために水平流型分散装置で分级した。なお、粒径分布は各種測定法を比較検討した結果、アンドレアゼンビペットの大容量のものを試作して測定した。また、 $\zeta$ -電位はブリッジスセルによる電気泳動法で測定した。

### 2) 3層実験の装置、条件および方法

実験装置の大略を図-1に示す。条件は、3速  $T = 100 \text{ m/day}$  (一部は  $T = 200 \text{ m/day}$ )、3層室ゲキ率  $\beta_0 = 36.8 \sim 38.2\%$ 、3層厚  $L = 3.85 \sim 7.21 \text{ cm}$ 、水温  $10.0 \sim 17.8^\circ\text{C}$ 、原水 pH = 7.2 ~ 7.9、原水懸濁粒子の濃度  $C_i = 181.2 \sim 232.9 \text{ mg/l}$  (実験の一部は  $226.7 \sim 350 \text{ mg/l}$  および  $350 \text{ mg/l}$  以上もある)、粒径  $d_{50} = 2.2 \sim 12.1 \mu\text{m}$  (平均 U.C. = 1.6)、平均  $\zeta$ -電位は  $-48.2 \sim -24.8 \text{ mV}$  である。3層は自然平衡型で制御し、濃度は引徑  $0.45 \mu\text{m}$  のメンブランフィルターで3層して測定した。また、初期3層係数入は次式で求めた。

$$\text{入} \cdot \left[ \frac{1}{\text{cm}} \right] = \frac{1}{L} \ln \frac{C_1}{C_0}$$

$L$ : 3層厚 [cm],  $C_1/C_0$ : 3層40分後の流入・流出濃度 [%]

なお、懸濁粒子の $\zeta$ -電位の制御は原水にピロリン酸ナトリウムおよび硫酸アルミニウムを添加するこによって行なった。

表-1 ガラス微粉の組成

Ig. Loss	0.06%
$\text{SiO}_2$	74.19
$\text{Al}_2\text{O}_3$	1.71
$\text{Fe}_2\text{O}_3$	0.12
$\text{K}_2\text{O}$	0.64
$\text{Na}_2\text{O}$	12.38
$\text{CaO}$	7.21
$\text{MgO}$	3.69

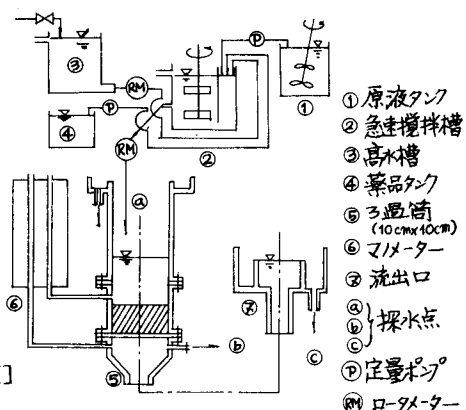


図-1 実験装置

### 3) 実験結果および考察

図-2は、3速 $T=100\text{m/day}$ での初期ろ過係数( $\lambda_0$ )と懸濁粒子のメドアン径( $d_{50}$ )との関係を示したものである。図をみると $d_{50}$ が大きくなるにつれて $\lambda_0$ は増加する傾向にあり、それらの間に $\lambda_0 \propto d_{50}^{1.30}$ が認められて $\lambda_0 [\frac{1}{\text{cm}}] = 1.84 \times 10^3 d_{50}^{1.30} [\mu]$ が得られた。

したがって、この位の粒径の範囲においては従来から指摘されているようにグラウンドによる拡散( $\lambda_0 \propto d_s^{1/2}$ )が卓越因子ではないことが明らかであり、指数から判断する限りはストレーニング作用(理論的には $\lambda_0 \propto d_s^{1.5}$ )が支配的であると考えられる。この知見からろ過中では粒径分布のうち大粒径部が選択的に除去され流出水の粒径分布が流入水のそれと比べて著しくなるのではないかと考えたが図-3によるとほとんど変化は認められず。

粒径分布のメドアン径が $\lambda_0$ を変化せらるほどではなく流量のみから論じればろ過全操作においてほぼ同一のろ過係数をえるものと考えられる。

図-4は、 $\lambda_0$ と懸濁粒子の $\zeta$ -電位との関係を $T=100\text{m/day}$ と $200\text{m/day}$ について示したものである。その結果、それぞれ  $\lambda_0 [\frac{1}{\text{cm}}] = 4.69 \times 10^6 [5\text{mV}]^{2.47}$ ,  $3.94 \times 10^5 [5\text{mV}]^{4.63}$ を得た。これらのことより、懸濁粒子の $\zeta$ -電位は $\lambda_0$ に大きく影響することがわかつり、 $\zeta$ -電位を操作することによって除去率を著しく改善することができる可能性があると考えられる。また、従来、 $\lambda_0 \propto \zeta^{-1}$ ,あるいは $\lambda_0 \propto \zeta^{-2}$ などの関係が理論的に提案されているが、この点について再検討する必要があると思われる。

表-2は、懸濁粒子の流入水の各 $\zeta$ -電位に対する流出水の $\zeta$ -電位の変化を一覧にして示したものである。この表で注目したいのは、懸濁粒子の流入水と流出水中の $\zeta$ -電位の差である。すはやち、 $\zeta$ -電位が比較的高い(| $\zeta$ |が大)場合には差は小さいが低い(| $\zeta$ |が小)場合には差は大きい。このことは、粒子の $\zeta$ -電位が、ろ過を通過するごとに増加するというよりは流入水中の比較的低い $\zeta$ -電位を有する粒子が選択的に滞留され、より高い $\zeta$ -電位の粒子が流出していくと考え方方が妥当であろう。

このようは現象から粒子の $\zeta$ -電位が小さい場合には、ろ過係数はろ過の流下方向に減少していくことなどが考えられ、急速ろ過の不合理性を助長するよう働くと思われる。

3. おわりに

今後、ろ過、ろ過の性質をメタリにし、さらに操作後の現象まで検討していきたい。

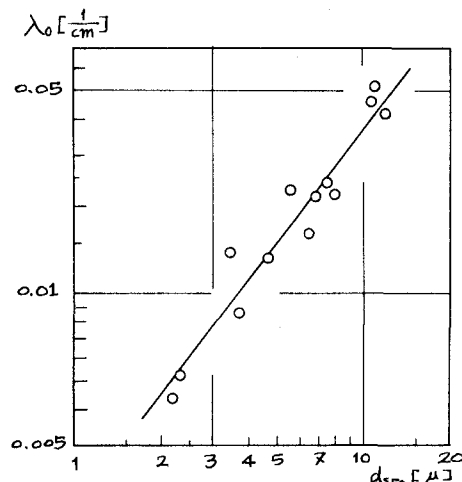


図-2  $\lambda_0$ と $d_{50}$ の関係 ( $T=100\text{m/day}$ ,  $5\text{mV}-34.5\text{mV}$ )

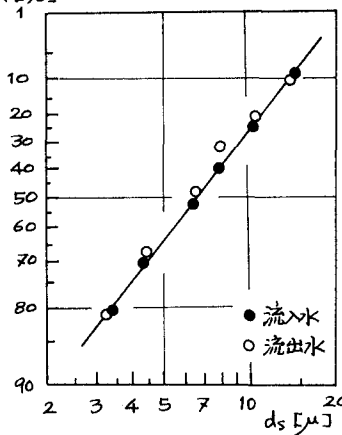


図-3 流入・流出水の濁度粒径分布(一例)  
( $T=100\text{m/day}$ ;  $d_{50}=6.0\mu$ )

表-2 懸濁粒子の $\zeta$ -電位	
流入水 [mV]	流出水 [mV]
-41.6	-40.2
-40.3	-39.9
-40.0	-38.9
-39.8	-39.2
-37.6	-38.5
-35.8	-38.5
-34.3	-36.7
-32.5	-36.2
-31.7	-34.7
-25.9	-30.7
-24.8	-28.2

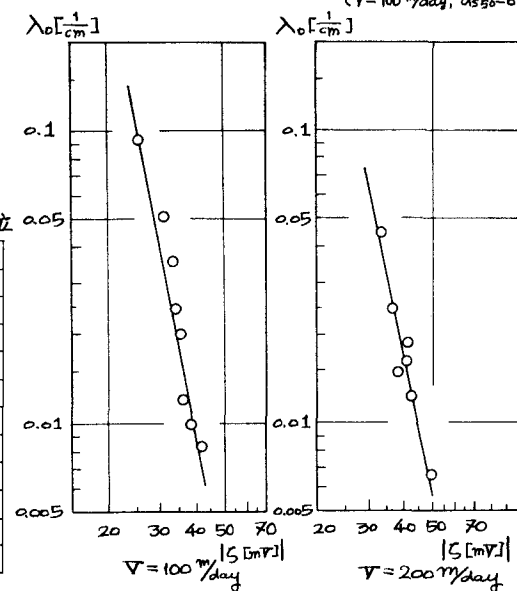


図-4  $\lambda_0$ と $\zeta$ -電位の関係 ( $d_{50}=6.0\mu$ )